

Messung der Neutrinomasse

Kurie-Plot: $K(E_e) = \sqrt{\frac{dN(E_e)/dE_e}{F(\tau', E_e) E_e \sqrt{E_e^2 - m_\nu^2 c^4}}}$ \Rightarrow erwartete Gerade schneidet E -Achse bei Maximalenergie (für $m_\nu = 0$)

Atomare Zustände müssen sehr gut verstanden sein. Optimal:



E_0 nur 18.6 keV

Bisher: keine Abweichung von Null gemessen
 (lange Zeit $m_\nu^2 < 0$, mehere Standardabweichungen.
 War systematischer Oberflächen-Effekt.)

Jetztiges Limit: $m_{\nu_e} < 3 \text{ eV}$

Z.B. im Bau: KATRIN - Spektrometer am Forschungszentrum Karlsruhe, Sensitivität bis hinunter zu 0.2 eV



Abb. 17.20. Schematische Darstellung des β -Spektrums in der Kurie-Darstellung. Falls die Neutrinomasse von Null verschieden ist, muss die Gerade nahe der Endenergie E_0 abknicken und die Achse bei der Energie $E'_0 = E_0 - m_\nu c^2$ senkrecht schneiden.

E_0 aus Extrapolation der Geraden bestimmbar.

Kollektive Kernanregungen

Drehimpuls - Entwicklung von elektromagnetischen Übergängen
(die $U(1)$ -Eichinvariant berücksichtigen: Photon immer transversal polaris.)

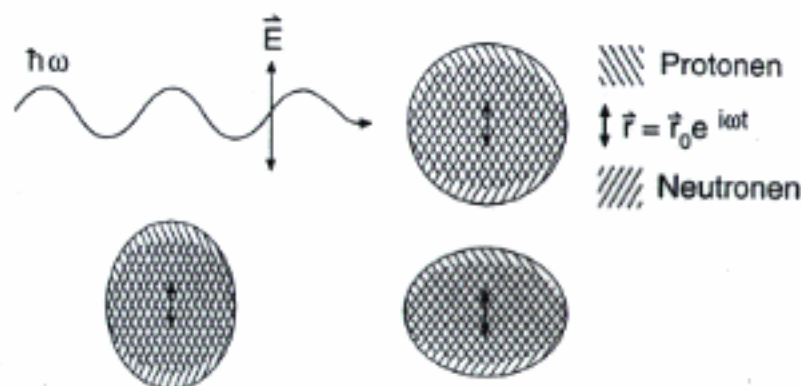
- | | | |
|-------------------------------------|--|------------|
| E1 : elektrischer Dipolübergang : | Parität ändert sich
$\Delta J \leq 1$; $\propto E_x^3$ | dominant |
| H1: magnetischer Dipolübergang : | Parität bleibt gleich
$\Delta J \leq 1$; $\propto E_y^3$ | |
| E2: elektrische Quadrupolübergang : | Parität bleibt gleich
$\Delta J \leq 2$; $\propto E_x^5$ | 2. Ordnung |
| : | | |

Dipol - Riesenresonanz : nuklearer Photoeffekt: ${}^A X(g,n) {}^{A-1} X$

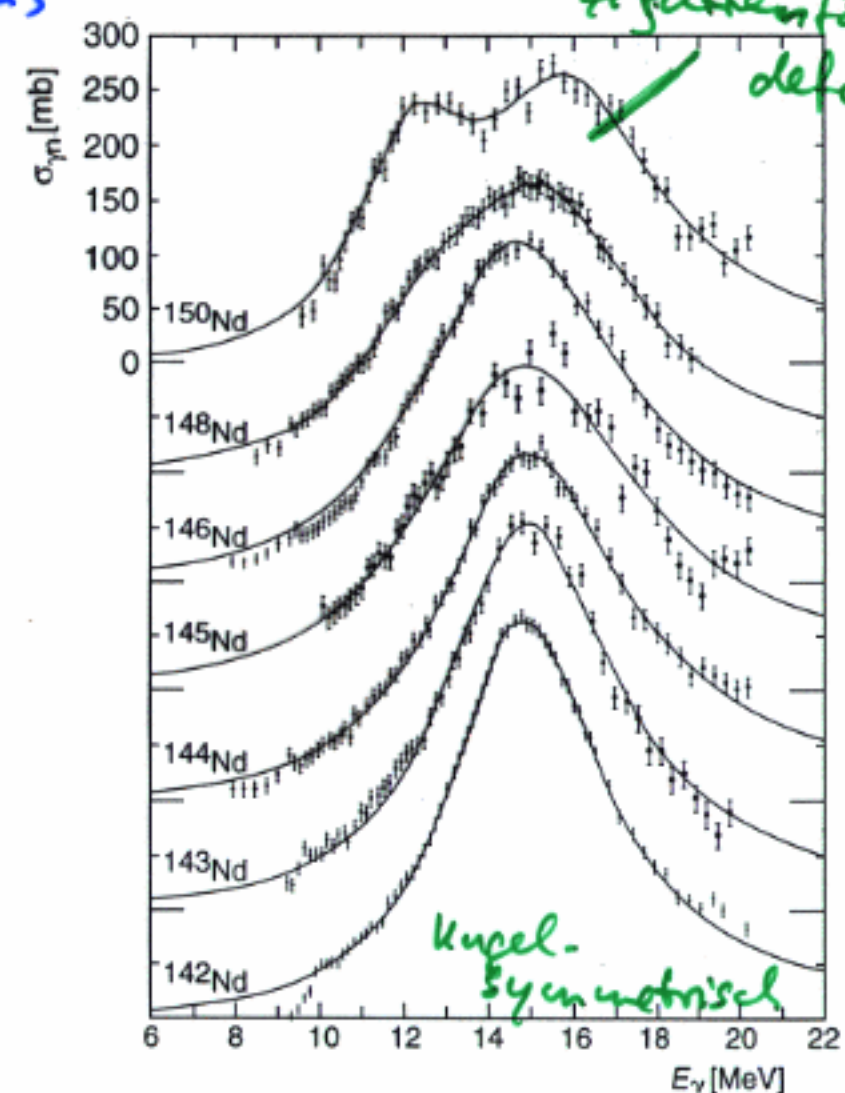
Anregungsenergie $\approx 2 \cdot$ Schalenabstand

${}^{142}\text{Nd}$: schwache Resonanz \rightarrow schwerere Isotope: Aufspaltung in 2 Resonanzen
intgr. WQ \approx Summe aller Einzelchen - WQS
der äußersten Schale

Erklärung: Kollektive Schwingung aller Protonen gegen alle Neutronen



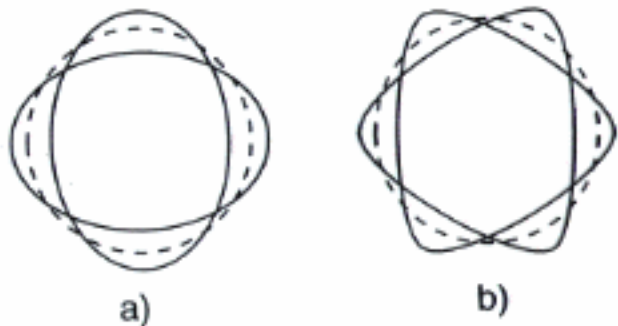
Für deformierte Kerne: unterschiedliche Resonanzfrequenzen entlang der großen und kleinen Hauptachse \rightarrow Aufspaltung in 2 Resonanzen



Weitere Kernanregungen

typ. Anregungsenergien:
0.5 - einige MeV

Formschwingungen:



Quadrupol- Octupol- Vibrat.ionen

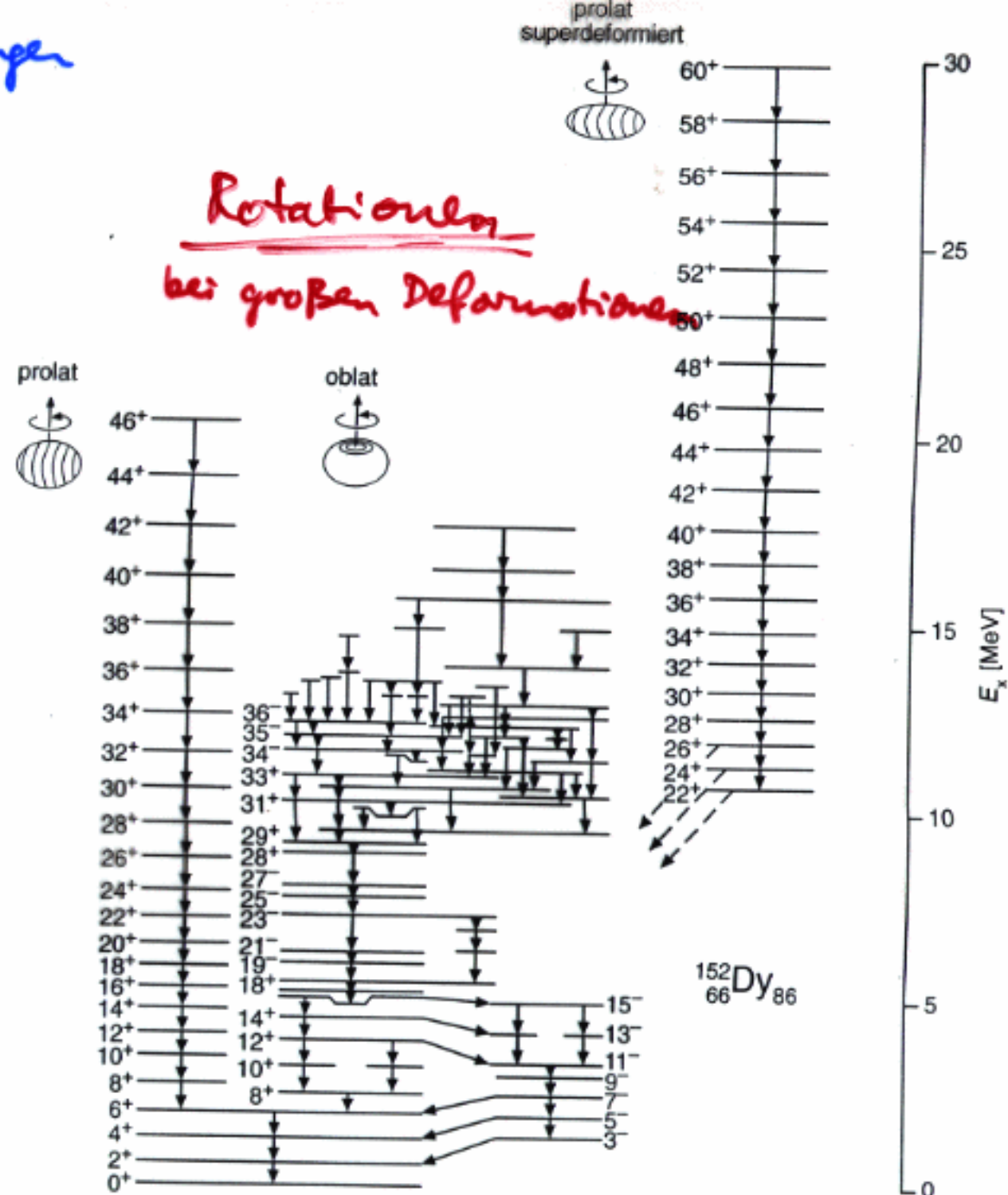


Abb. 18.14. Niveaus des Kerns ^{152}Dy [Sh90]. Während die niedrigerenergetischen Zustände keine typischen Rotationsbanden zeigen, bilden sich bei hohen Anregungen Rotationsbanden, die auf eine große Deformation des Kerns schließen lassen.

Rotationszustände: $E_J = J(J+1) \frac{\hbar^2}{2\Theta} \leftrightarrow$ Trägheitsmoment

$$\Delta E = E_{J+1} - E_J = 2(J+1) \frac{\hbar^2}{2\Theta}$$

nimmt linear mit J zu:

\Rightarrow äquidistante Rotations-Übergangs-Linien

\Rightarrow nur näherungsweise der Fall $\Rightarrow \Theta$ nimmt mit steigendem J zu!

$$\Theta_{\text{starre Kugel}} = \frac{2}{5} MR_0^2$$

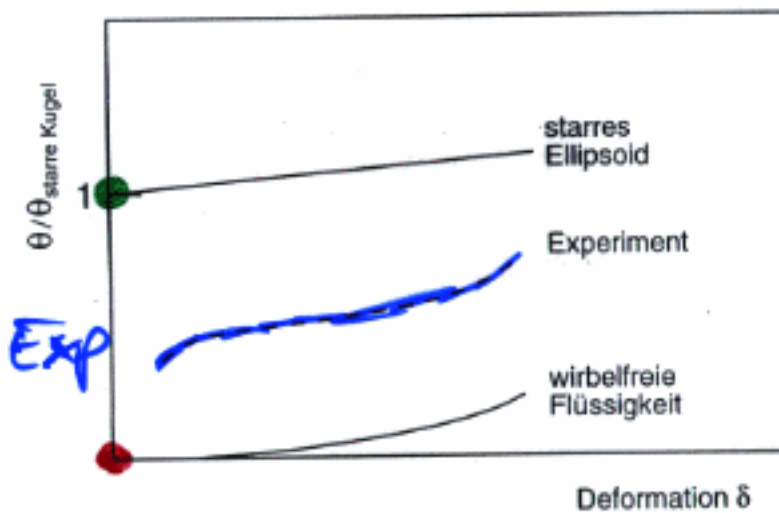


Abb. 18.13. Trägheitsmoment deformierter Kerne, verglichen mit dem einer starren Kugel, als Funktion des Deformationsparameters δ . Zum Vergleich sind die Extremfälle eines starren Ellipsoiden und einer wirbelfreien Flüssigkeit angegeben.

ideale inkompressible Flüssigkeit ohne innere Reibung (superfluid)
(masselose Eisenschale gefüllt mit superfluidem ^3He) wirbelfrei
(nur Ausbeulung des Eis trägt zu Θ bei):

$$\Theta = \frac{45\delta^2}{16\pi} \cdot \Theta_{\text{starre Kugel}}$$

Exp: \approx in der Mitte; Kern ist z.T. superflüssig (innere Schalen, Paarungskraft)
z.T. starrer Ellipsoid (verpakte Nukleonen)

Nukleare Thermodynamik

Kerne im Grundzustand: entartetes Fermi-Gas, Nukleonen quasi-frei; Einzelchen-Zustände mit Radial- und Orbitalanregung, Thermodynamisch: $T = 0$.

Kerne in hohen Anregungszuständen: reduzierte freie Weglänge ca. 1 fm, nähert sich normaler Flüssigkeit an.
Statistische, thermodynamische Größen, z.B. T

Achtung: Zahl der Teilchen nicht wirklich groß, nicht im thermischen Gleichgewicht; „Kernmaterie“ impliziert sehr große Systeme

Experimentell: Schwerionenreaktionen; z.B. Gold-Gold, Gold-Be-

CERN Fixed Target

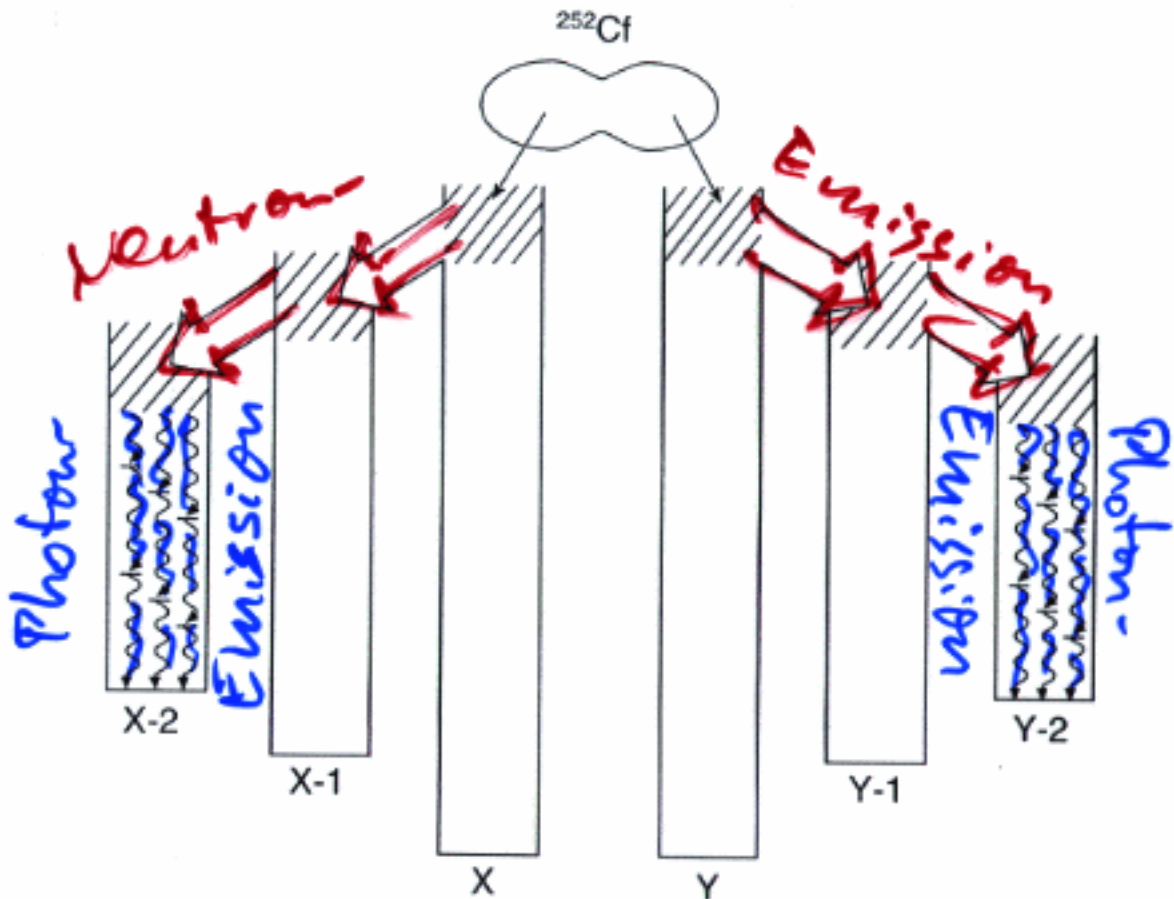
RHIC Brookhaven (USA)

Relativistic Heavy Ion Collide

LHC heavy ion programme (ALICE-Exp.)

⇒ Kerne verschmelzen und bilden kurzzeitig Kernmaterie mit erhöhtem T und g.

⇒ wichtig für Kosmologie und Astrophysik



"Temperatur"

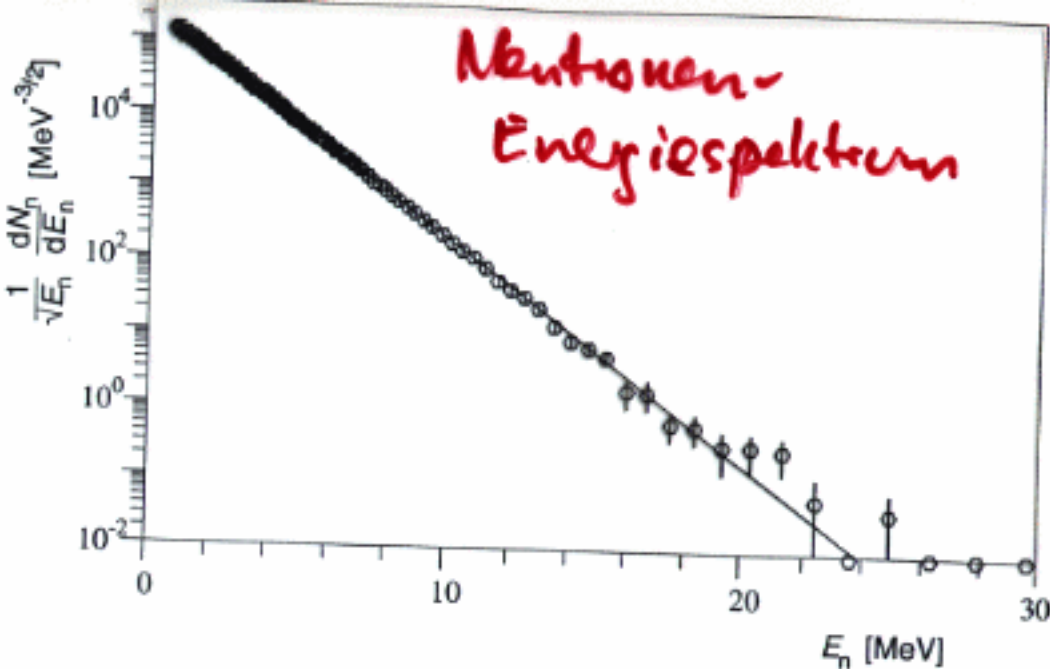
^{252}Cf : $\tau = 2.6$ Jahre
3.1% : spontane Spaltung

Toernung der Spaltfragmente
 ⇒ Reibung
 ⇒ erhöht innere Energie
 der Fragmente, die
 sich dadurch erhitzen.

Abb. 19.1. Abkühlung von Spaltfragmenten (schmälematisch). Ein ^{252}Cf -Kern spaltet sich in zwei Bruchstücke der Massenzahlen X und Y, die sich durch Emission von Neutronen und anschließend von Photonen abkühlen.

Abkühlung der Spaltfragmente X und Y

- ⇒ erst durch Neutron-Emission (im Mittel 4 n)
- ⇒ Wenn Energie nicht mehr groß genug für n-Emission : Photon-Emission



→ Maxwell-Verteilung:
 $N_n(E_n) \propto \sqrt{E_n} \cdot e^{-E_n/kT}$
 „Verdampfungsspektrum“ mit
 $kT \approx 1.41 \text{ MeV}$

Abb. 19.2. Energiespektrum von Neutronen, die bei der spontanen Spaltung von ^{252}Cf emittiert werden (nach [Bu88]). Die Verteilung ist durch $\sqrt{E_n}$ dividiert und dann mit dem Exponentialfaktor der Maxwell-Verteilung angepasst (durchgezogene Linie).,

Photonen: im Mittel ca 20 Photonen pro Spaltung
 80% haben Energien unter 1 MeV
 stärkerer Abfall: T ist schon deutlich niedriger

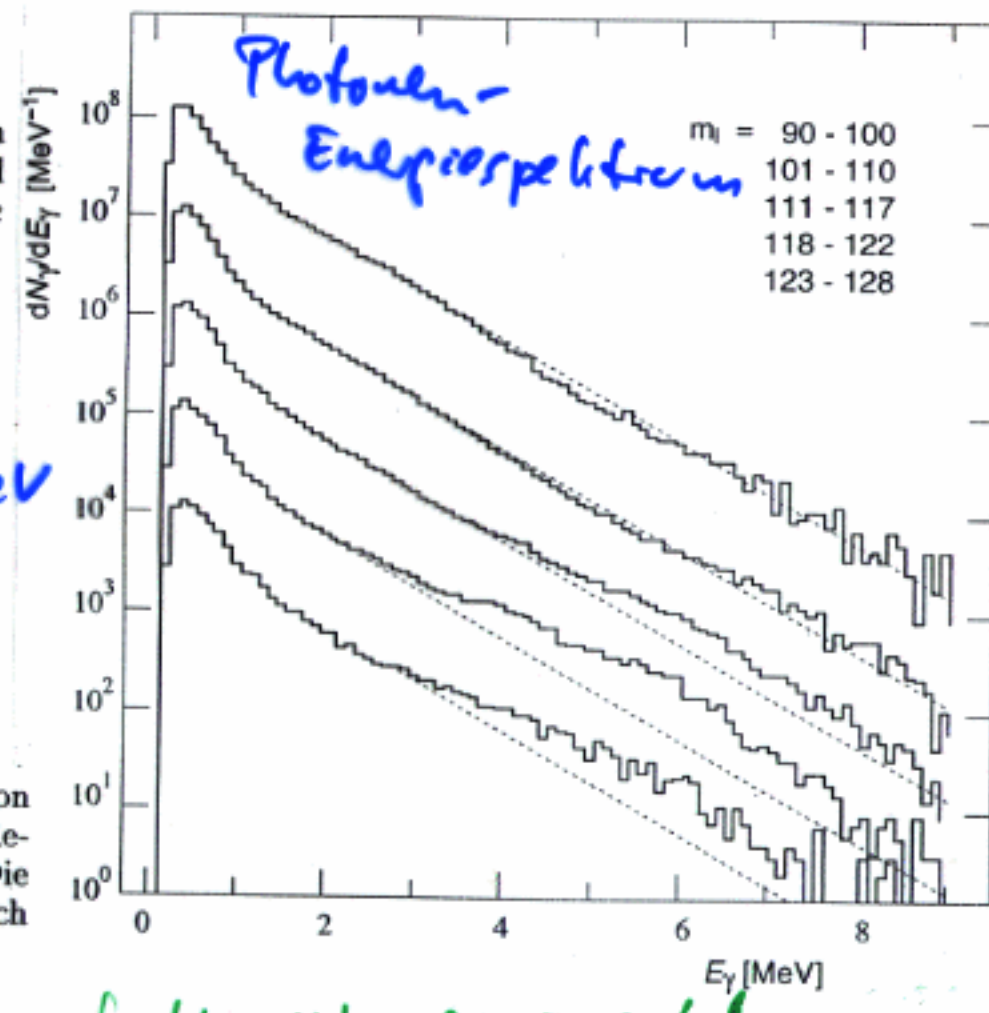


Abb. 19.3. Energiespektren von Photonen, die nach der spontanen Spaltung von ^{252}Cf emittiert werden. Die verschiedenen Spektren beziehen sich auf verschiedene Massenzahlen m_1 des leichteren Spaltfragments (von oben nach unten). Die gestrichelte Linie ist eine gemeinsame Anpassung einer Exponentialfunktion (nach [Gl89]).

⇒ Thermodynamische, statistische Beschreibung funktioniert ganz gut!

Peripherie-Ion-Ion-Stöße

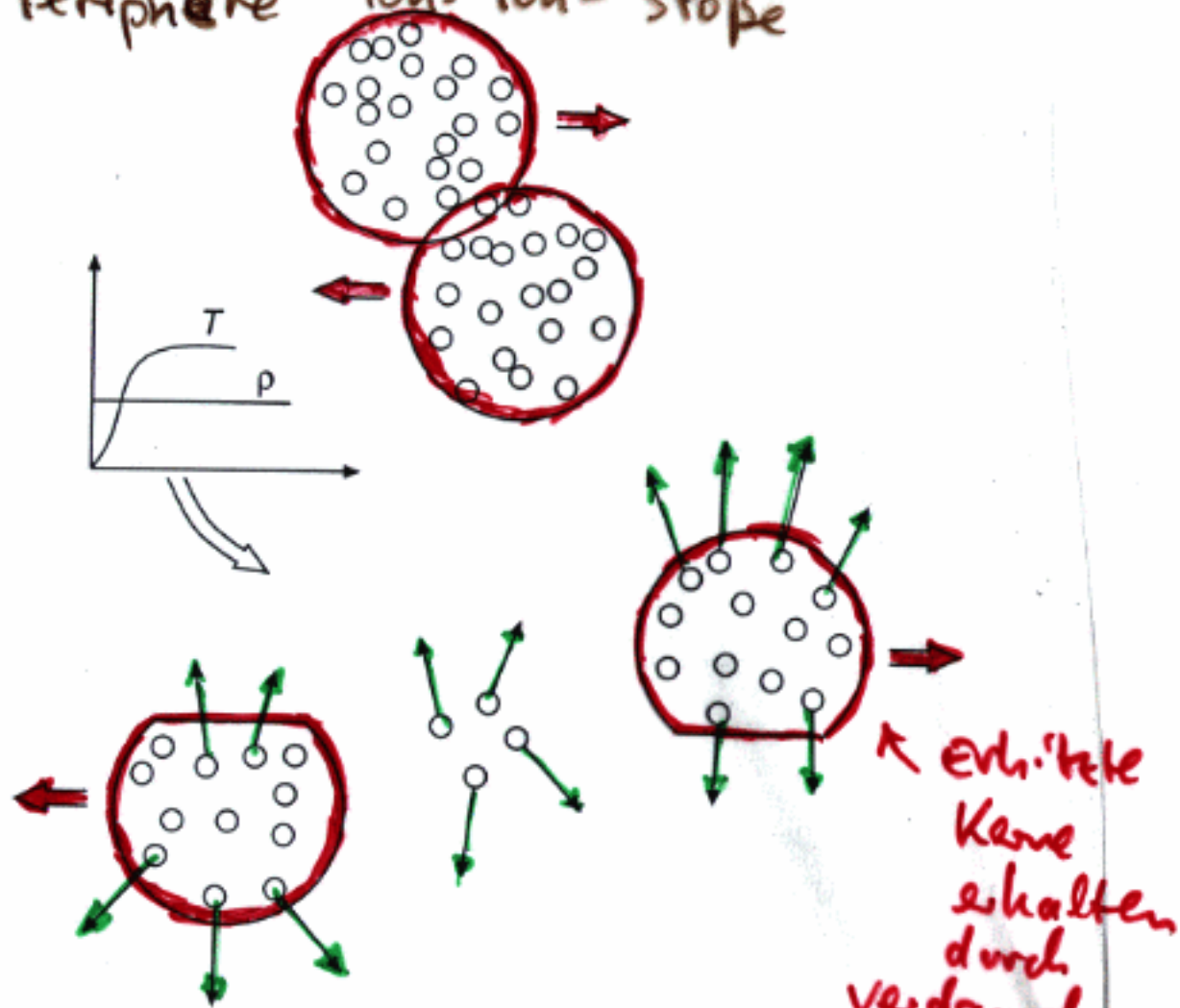
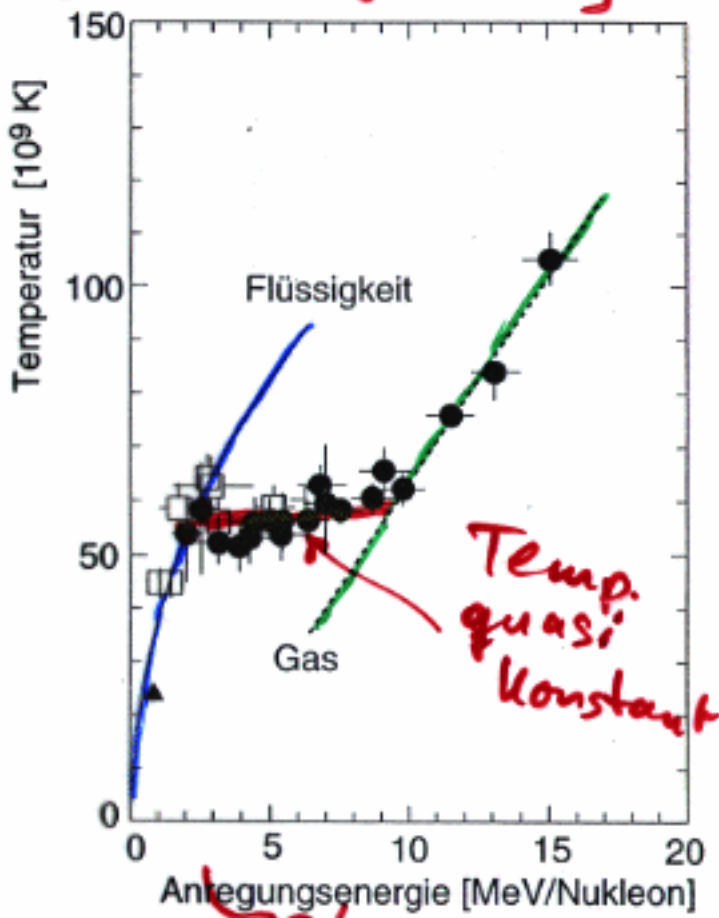


Abb. 19.5. Streifende Kollision von Kernen. Die großen Fragmente erwärmen sich durch Reibung. Daneben bleiben einzelne Nukleonen und kleine Kernfragmente übrig. Das Diagramm beschreibt die zeitliche Entwicklung der Dichte ρ und der Temperatur T der Fragmente während der Kollision.

Temperaturmessung: aus Maxwell-Verteilung der Zerfallsprodukte

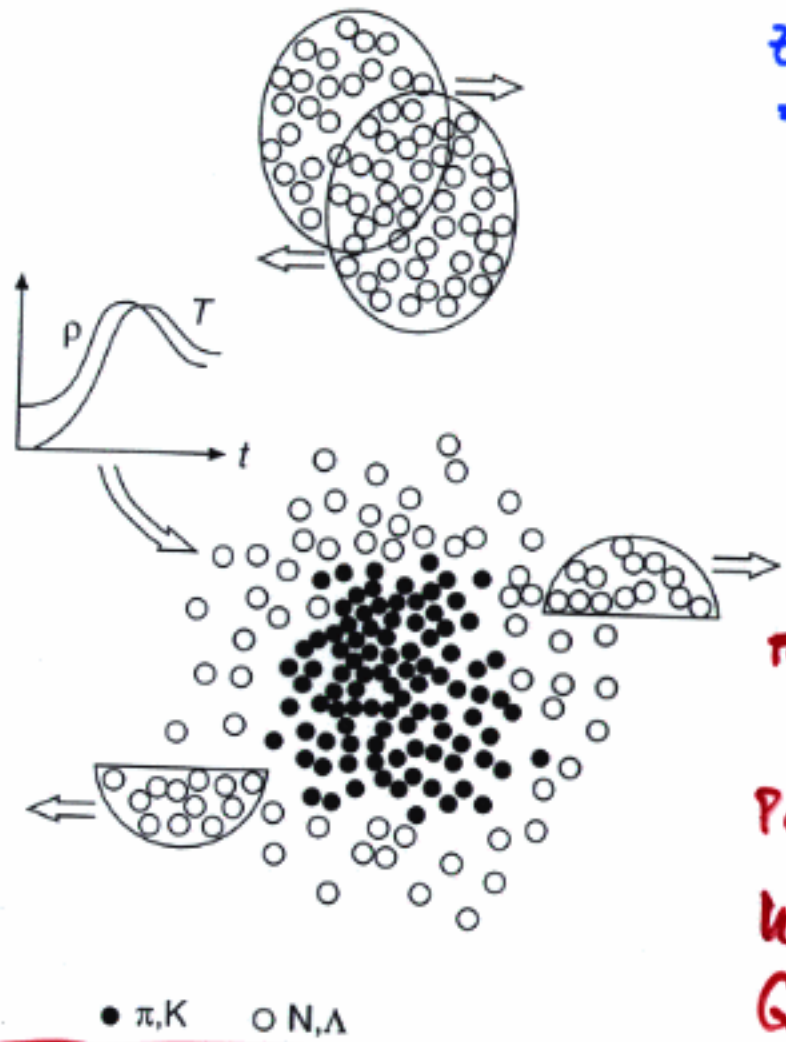
zugeführte Gesamtenergie: aus Nachweis aller erzeugten Teilchen im Endzustand

Au-Au; 600 MeV / Nukleon
analog zu Verdampfung von Wasser, Phasenübergang
flüssig \rightarrow fest-gasförmig

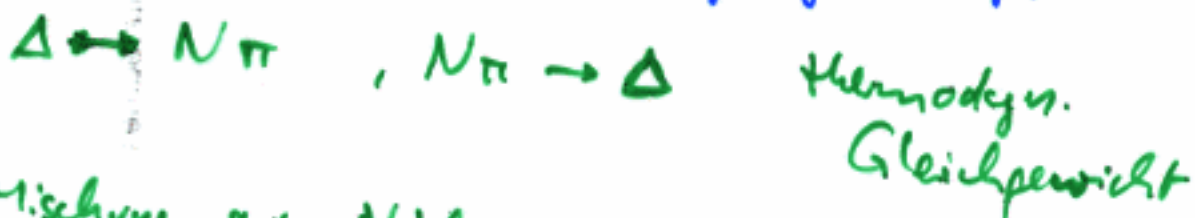


Nukleonenschicht in der Gasphase, die nicht abdampft, im Gleichgewicht mit flüssigem Kern
es ist wenn alles verdampft, T-Erhöhung möglich

Hadronische Materie



zentrale Gold-Gold-Kollisionen, $\approx 10 \text{ GeV/Nuklear}$
 ⇒ viele Pionen entstehen



Mischung aus Nukleonen, Δ und π : hadronische Materie

$$\pi: \frac{dN}{dE_{kin}} \propto e^{-E_{kin}/kT}$$

Pionstrahlungs-Temperatur übersteigt
 $kT \approx 150 \text{ MeV}$ nicht, unabhängig von der
 Gesamtenergie.

Heiße Kernmaterie
 expandiert und
 kühlst dabei ab.

Unterhalb von 150 MeV nimmt W-W.-Wahrscheinlichkeit der Pionen drastisch ab, damit auch
 Energieaustausch mit anderen Teilchen.

„Ausfrieren“ der Pionen

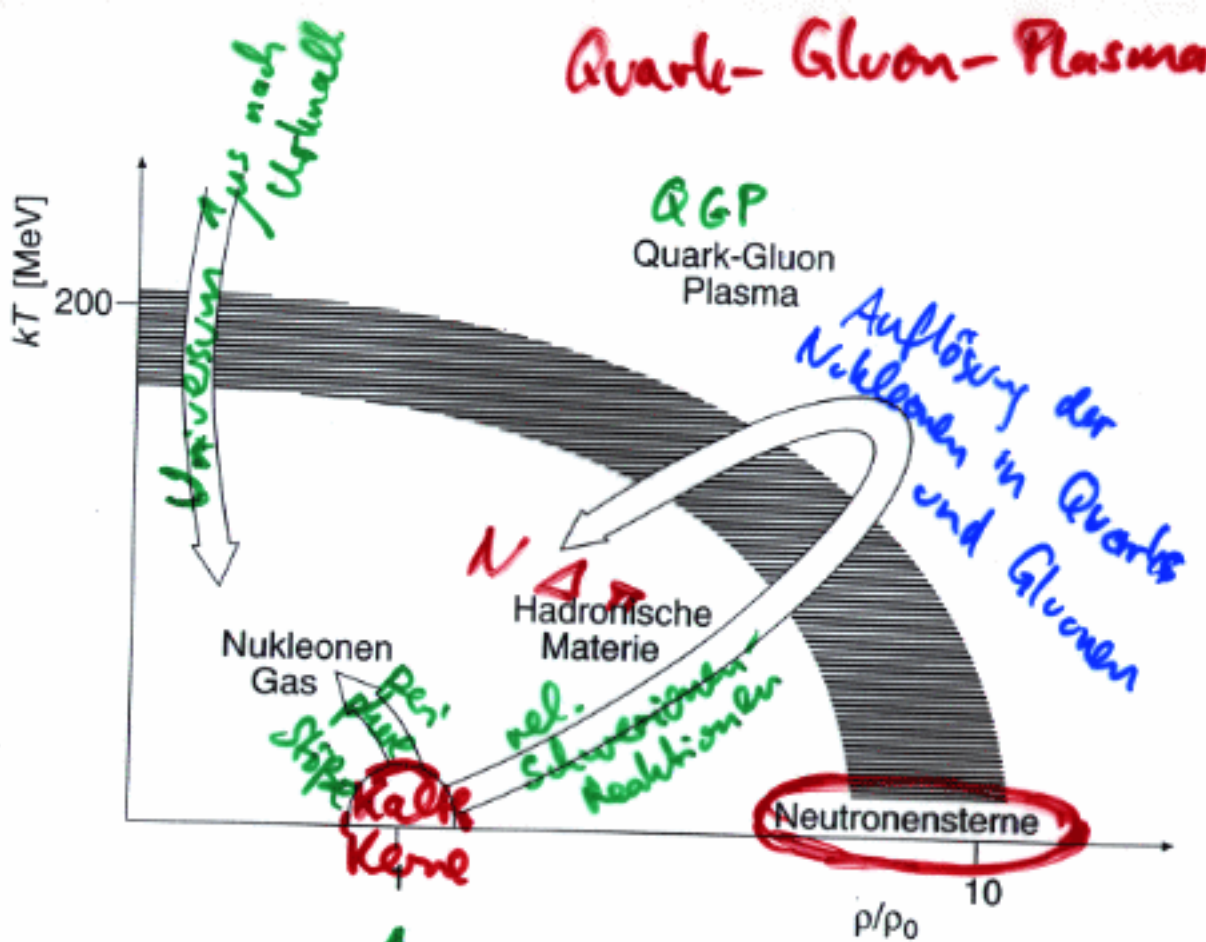


Abb. 19.8. Phasendiagramm der Kernmaterie. Die normalen Kerne befinden sich bei $\rho = \rho_0 (= \rho_N)$ und der Temperatur $T = 0$. Die Pfeile geben die Wege an, die die Kerne bei verschiedenen Schwerionenreaktionen nehmen. Der kurze Pfeil symbolisiert die Erwärmung des Kerns durch periphere Stöße; der lange Pfeil entspricht relativistischen Schwerionenreaktionen, bei denen die Kernmaterie möglicherweise die Quark-Gluon-Plasma-Phase durchquert. Die Abkühlung des Universums um die Zeit $T \approx 1 \mu\text{s}$ wird durch den nach unten gerichteten Pfeil dargestellt.

1 Nukleon nimmt
6 fm^3 Volumen
ein

(Eigenvolumen des Nukleons: ca. 0.6 fm^3)

Nachweis des QGP:

- durch s.m. Strahlung (kann aus Zentrum der Schwerionenreaktion entkommen; kühlt nicht durch Expansion ab.)
- durch erhöhte Strange-N-Produktion
- durch Unterdrückung von J/ψ -Erzeugung

Status: CERN, RHIC

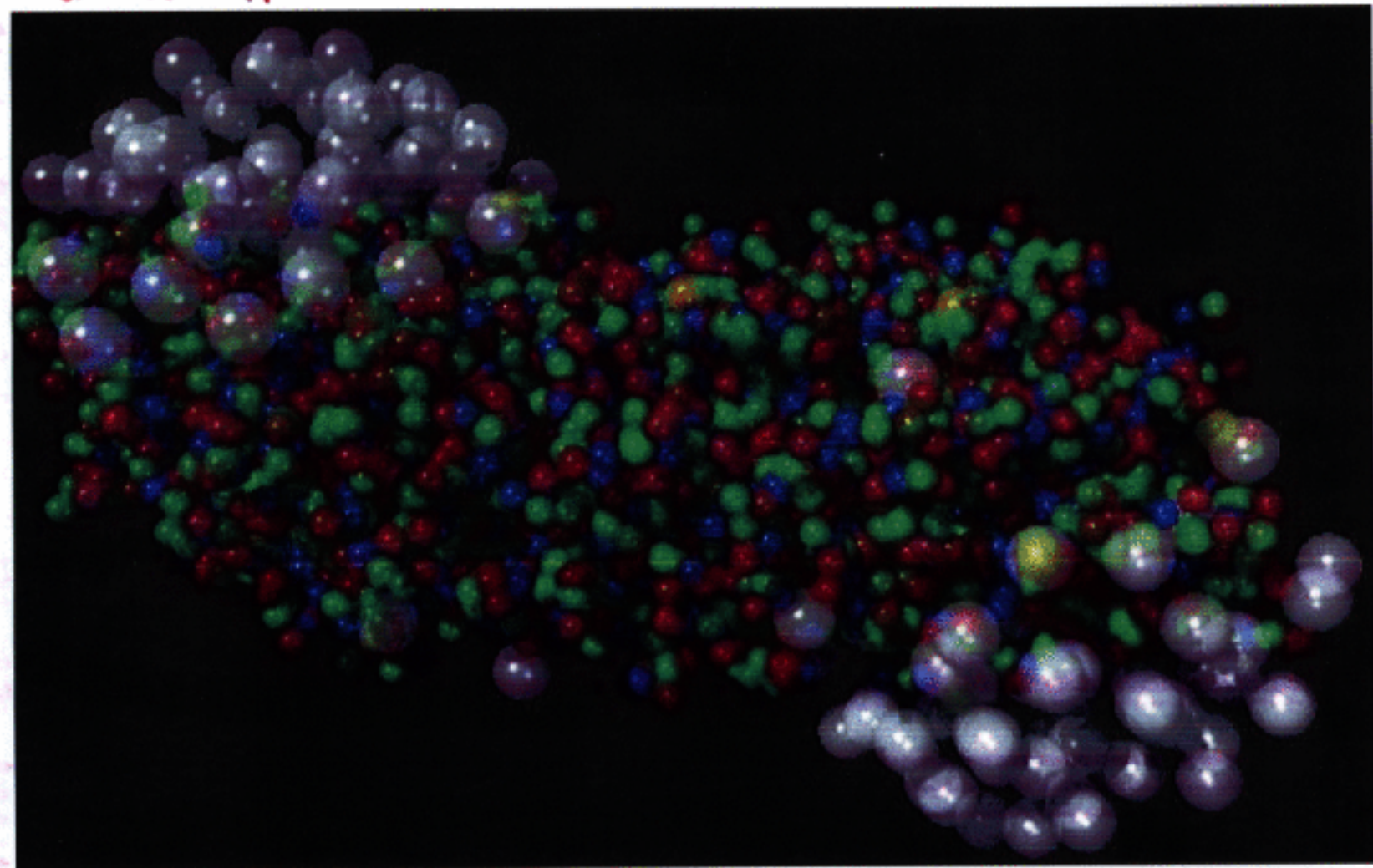
2000 - 2005 :

QGP gefunden
(aber noch umstritten,
Interpretationen nicht
eindeutig)

(Eigenvolumen des Nukleons: ca. 0.6 fm^3)

Quark-Gluon-Plasma

Mitteilen



„Deconfinement“

↑
Nukleonen